МОСКОВСКИЙ ГОСУДАРСТВЕННЫЙ УНИВЕРСИТЕТ
имени М.В.ЛОМОНОСОВА
Механико-математический факультет
Кафедра дифференциальной геометрии и приложений

arXiv:1611.09634v1 [math.GT] 29 Nov 2016

# «Погружение графов в проективную плоскость»

Курсовая работа
студента 4 курса
М.А. Ивашковского

Научный руководитель
Доцент, кандидат физ.-мат. наук Е.А. Кудрявцева

Москва, 2016 г.

# Содержание

**1 Введение** **2**

1.1 Известные результаты. Определения . . . . . 2

1.2 Постановка задачи . . . . . 6

**2 Классификация погружений графов в проективную плоскость** **6**

2.1 Граф $G$ состоит из одной петли . . . . . 6

2.1.1 Формулировка результата . . . . . 6

2.1.2 Доказательство теоремы 4 . . . . . 7

2.2 Граф $G$ состоит из двух петель . . . . . 9

2.2.1 Вспомогательные утверждения и необходимые определения . . . . . 10

2.2.2 Формулировка результата . . . . . 11

2.2.3 Доказательство теоремы 5 . . . . . 11

**Список литературы** **13**

**Аннотация**

В работе исследуются погружения графов в проективную плоскость. Проводится классификация погружений с точностью до регулярной гомотопности. Построен полный инвариант погружений с точностью до регулярной гомотопности. Описываются классы эквивалентности.

Immersions of graphs to the projective plane are studied. A classification of immersions up to regular homotopy is given. A complete invariant of immersions up to regular homotopy is constructed. Equivalence classes are described.

# 1 Введение

## 1.1 Известные результаты. Определения

**Определение 1.** Две замкнутые регулярные кривые $\gamma_0, \gamma_1 : S^1 \to M$ на поверхности $M$ назовем *регулярно гомотопными* и пишем $\gamma_0 \overset{reg}{\sim} \gamma_1$, если существует регулярная гомотопия $\{\gamma_t\}_{t\in[0;1]}$ с $\gamma_t|_{t=0} = \gamma_0$ и $\gamma_t|_{t=1} = \gamma_1$.

**Теорема 1** (Уитни [1]). *Если* $\gamma : S^1 \to \mathbb{R}^2$, $\Gamma = \frac{\dot\gamma}{|\dot\gamma|} : S^1 \to S^1$ *и* число вращения Уитни *кривой* $\gamma$ *определяется формулой* $\omega(\gamma) := deg\Gamma$, *то*

$$\boxed{\gamma_0 \overset{reg}{\sim} \gamma_1 \Leftrightarrow \omega(\gamma_0) = \omega(\gamma_1).}$$

**Теорема 2** (Рейдемейстер [2]). *Регулярные кривые* $\gamma_0, \gamma_1 : S^1 \to M$ *на поверхности* $M$ *гомотопны (обозначение* $\gamma_0 \sim \gamma_1$*) тогда и только тогда, когда существует гомотопия, разлагающаяся в последовательность движений Рейдемейстера 1, 2 и 3 типов.*

Движения Рейдемейстера существуют ровно трёх типов (рис. 1).

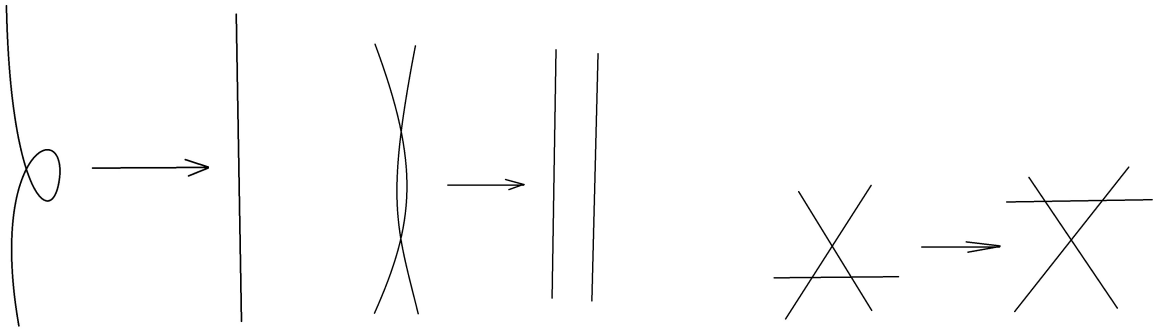

Рис. 1: Движения Рейдемейстера типов 1, 2 и 3

**Следствие 1.** *Если регулярные кривые* $\gamma_0, \gamma_1 : S^1 \to M$ *на поверхности* $M$ *гомотопны (т.е.* $\gamma_0 \sim \gamma_1$*), то* $\gamma_0 \overset{reg}{\sim} \tilde\gamma_1$ *для некоторой регулярной кривой* $\tilde\gamma_1$*, получающейся из кривой* $\gamma_1$ *прибавлением некоторого количества маленьких петель (завитков).*

*Доказательство.* По теореме 2 Рейдемейстера, ввиду гомотопности кривых, существует последовательность движений Рейдемейстера, приводящая кривую $\gamma_0$ к кривой $\gamma_1$. Выполним эту последовательность движений со следующей модификацией: каждый раз, когда предполагается совершить движение Рейдемейстера типа 1 (рождение или уничтожение завитка), мы вместо его выполнения будем оставлять на малом участке кривой маленький завиток (который будет сохраняться, жестко двигаясь по поверхности вместе с этим участком кривой, в течение всей последующей регулярной гомотопии).

Более подробно: если движение Рейдемейстера типа 1 состоит в *уничтожении* завитка, то вместо его уничтожения мы сохраним его (в течение всей последующей регулярной гомотопии) в виде маленького завитка. А если движение Рейдемейстера типа 1 состоит в *рождении* завитка, то мы непосредственно перед выполнением этого движения породим (как на рис. 2) регулярной гомотопией пару близлежащих завитков противоположных знаков, и один из них (нужного знака) используем в качестве рожденного завитка при движении Рейдемейстера, а другой завиток сохраним (в течение всей последующей регулярной гомотопии) в виде маленького завитка на данном участке кривой.

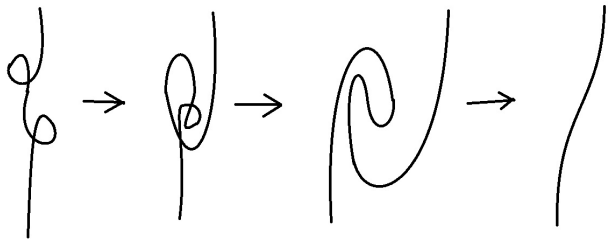

Рис. 2: Взаимное уничтожение пары маленьких петель

В результате мы получим регулярную гомотопию, приводящую кривую $\gamma_0$ к некоторой кривой $\tilde{\gamma}_1$ искомого вида, т.е. получающейся из $\gamma_1$ добавлением нескольких завитков. □

**Определение 2.** Обозначим $\gamma^{or} := (\gamma, or.)$, где $\gamma : G \to M$, $or.$ — локальная ориентация $T_{\gamma(v)}M$, $v$ — вершина, где сходятся петли графа $G$.

**Определение 3.** $\gamma_0^{or} \overset{reg}{\sim} \gamma_1^{or}$, если они гомотопны в обычном смысле при помощи регулярной гомотопии $\gamma_t$, и кроме того $\gamma_t$ — погружение (т.е. локально является регулярным вложением).

**Теорема 3** (Пермяков [3]). *Пусть $M$ — компактная поверхность, отличная от $\mathbb{R}P^2$. Пусть $G$ — связный граф, $v$ — некоторая вершина, $T$ — остовное дерево, и ребра вне $T$ не являются петлями и соединяют листья дерева $T$. Пусть $X$ — векторное поле на $M$ без нулей в случае, когда $M$ — тор, бутылка Клейна или поверхность с краем, и с единственным нулем $x \in M$ в остальных случаях, $f_1, f_2 : G \to M$ два регулярных погружения, образы которых не содержат $x$. Пусть заданы локальные ориентации $O_1, O_2$ в точках $f_1(v)$, $f_2(v)$. Пусть $\tilde{f}_1 : G \to M$ — произвольное регулярное отображение, регулярно гомотопное $f_1$, для которого $\tilde{f}_1|_T \equiv f_2|_T$ , локальная ориентация в точке $\tilde{f}_1(v) = f_2(v)$, перенесенная с гомотопией из $O_1$, совпадает с $O_2$, и $\tilde{f}_1$ гомотопно $f_2$ относительно точки $v$. Тогда существует регулярная гомотопия, преобразующая $f_1$ в $f_2$ и $O_1$ в $O_2$ тогда и только тогда, когда выполнены следующие условия.*

1. *Существует гомотопия, преобразующая отображение $f_1$ в $f_2$ и локальную ориентацию $O_1$ в $O_2$.*

2. *В каждой вершине циклические порядки выходящих из нее ребер при отображениях $f_1$ и $f_2$ совпадают относительно локальных ориентаций, перенесенных из $O_1$ и $O_2$ вдоль дерева $T$.*

3. *Для каждого простого опорного цикла $C_i$ сохраняющего ориентацию выполняется $d\omega_X(f_1|_{C_i}, O_1, f_2|_{C_i}, O_2) = 0$.*

4. *Число* $d\omega_X(\tilde{f}_1|_{C_i}, O_{2,i}, f_2|_{C_i}, f_2(w_i), f_2|'_{C_i}(w_i))$ *одинаково и четно для всех простых опорных циклов* $C_i$*, меняющих ориентацию, где* $w_i$ *ближайшая к* $v$ *по дереву* $T$ *точки цикла* $C_i$*, а локальная ориентация* $O_{2,i}$ *в точке* $f_2(w_i)$ *перенесена из* $O_2$ *вдоль дерева* $T$*.*

Подробнее про определения, используемые в теореме 3, и ее доказательство можно найти в [3].

Как пример, приведем результат классификации погружений графа для случая кривых на сфере.

**Утверждение 1** (для $M = S^2$)**.** $\forall$ *погружение* $\gamma : S^1 \to S^2$ *регулярно гомотопно либо кривой без петель, либо кривой с одной петлёй. Обозначим первую как* $\gamma_{(0)}$*, а вторую как* $\gamma_{(1)}$*.*

**Определение 4** (*число самопересечения* замкнутой регулярной кривой $\gamma$ на ориентируемом многобразии $M$)**.** Пусть в точке $\gamma(0)$ фиксирована ориентация $T_{\gamma(0)}M$. Пусть есть точка самопересечения $A$ кривой $\gamma$, $A = \gamma(t_1) = \gamma(t_2)$, причем $0 \leq t_1 < t_2 \leq 1$. Перенесем ориентацию вдоль кривой $\gamma|_{[0,t_1]}$ в точку $A$. Возьмем репер $(\dot{\gamma}(t_1), \dot{\gamma}(t_2))$ и сравним его ориентацию с перенесенной ориентацией. В зависимости от согласованности припишем точке $A$ знак $+1$ или $-1$. Просуммировав эти числа по всем точкам самопересечения, получим *число самопересечения* кривой $\gamma$, обозначим его через $I\gamma \in \mathbb{Z}$.

**Следствие 2.** *В случае ориентируемого многообразия,* $\gamma_0 \overset{reg}{\sim} \gamma_1 \Rightarrow I\gamma_0 = I\gamma_1$*, где* $I$ *— это число самопересечения кривой. В частности, кривые* $\gamma_{(0)}$ *и* $\gamma_{(1)}$ *из утверждения 1 не регулярно гомотопны друг другу.*

*Доказательство.* Это следует из "регулярного аналога" теоремы 2 Рейдемейстера: число самопересечения кривой сохраняется при втором и третьем движениях Рейдемейстера, а потому и при любой регулярной гомотопии. □

## 1.2 Постановка задачи

Пусть дан граф $G$ с выделенной на нем точкой $v$ — вершиной. Пусть также граф представляет собой объединение петель $e_i$, $i = 1, \ldots, n$. Рассматривается погружение $\gamma$ графа $G$ в проективную плоскость $\gamma : G \to \mathbb{R}P^2$. Требуется произвести классификацию всех возможных погружений с точностью до регулярной гомотопности.

# 2 Классификация погружений графов в проективную плоскость

## 2.1 Граф $G$ состоит из одной петли

Рассмотрим случай, когда граф $G$ состоит из одной петли и имеет вид как на рис. 3.

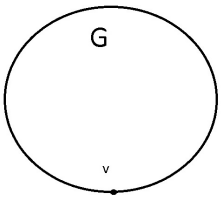


Рис. 3: Граф $G$, образованный одной петлей

### 2.1.1 Формулировка результата

**Теорема 4.** *Если* $\gamma_1, \gamma_2 : G = S^1 \to \mathbb{R}P^2$ *— два регулярных погружения, то*

$$\boxed{\gamma_1 \overset{reg}{\sim} \gamma_2 \Leftrightarrow Inv(\gamma_1) = Inv(\gamma_2)},$$

*где*

$$Inv_0(\gamma) := [\gamma] \in \pi_1(\mathbb{R}P^2) = \mathbb{Z}/2\mathbb{Z} = \{0, 1\},$$

$$Inv_1(\gamma) := I\gamma \ mod \ 2 \in \{0, 1\},$$

$$Inv = (Inv_0, Inv_1).$$

### 2.1.2 Доказательство теоремы 4

Пусть $\gamma : G = S^1 \to \mathbb{R}P^2$. Возникают два подслучая — когда $\gamma_1$ стягиваемая, и когда $\gamma_1$ — нестягиваемая кривая на $\mathbb{R}P^2$. Известный факт, что условие стягиваемости кривой $\gamma$ на $\mathbb{R}P^2$ равносильно тому, что $\gamma$ сохраняет ориентацию.

**Лемма 1.** *Если $\gamma_1$ — стягиваемая, то для нее верно утверждение теоремы 4.*

*Доказательство.* По предположению кривая $\gamma_1$ сохраняет ориентацию и стягиваемая. Тут $[\gamma_1] = 0$, что означает ее стягиваемость. Проективная плоскость состоит из диска $U$ и приклеенной к нему ленты Мёбиуса $\mu$. В данном случае мы покажем (см. ниже), что $\gamma_1 \overset{reg}{\sim} \gamma_{(0)}$ или $\gamma_1 \overset{reg}{\sim} \gamma_{(1)}$, где $\gamma_{(0)}$ — это кривая без петель в $U$, а $\gamma_{(1)}$ — это кривая с одной петлёй в $U$.

Ввиду стягиваемости, кривая $\gamma_1$ регулярно гомотопна некоторой кривой $\gamma$, которая находится внутри диска $U$. Введем движение, которое будем называть *“протаскиванием через бесконечность”*. Для этого перейдем к накрытию проективной плоскости $\mathbb{R}P^2$ сферой $S^2$ и перенесем некоторую дугу $\gamma|_\delta$ как показано на рис. 4.

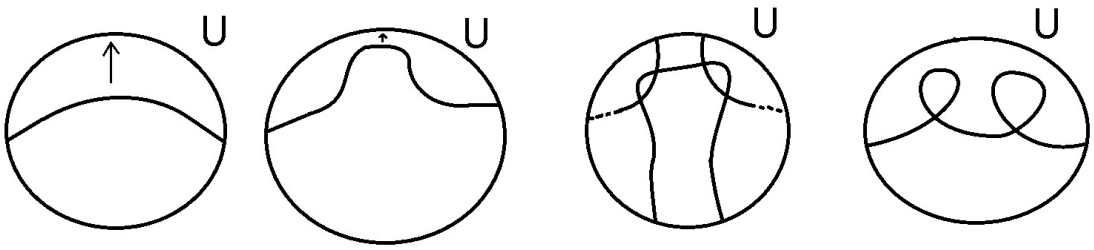


Рис. 4: “Протаскивание через бесконечность”

**Утверждение 2** ("протаскивание через бесконечность"). *Если* $\gamma|_\delta$ - *простая дуга,* $\delta \subset G = S^1$, $\delta \cap v = \emptyset$, *то существует регулярная гомотопия* $f$, *неподвижная вне дуги* $\delta$ *и преобразующая* $\gamma|_\delta$ *в* $\gamma|_\delta +$ *две петли одного знака.*

*Доказательство.* Обозначим $f|_\delta := F$. В силу свойств накрытий существует поднятие $\tilde{F}$ кривой $F$ такое, что следующая диаграмма коммутативна:

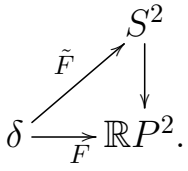


Утверждение доказано. □

Таким образом, мы можем менять индекс самопересечения $\omega(\gamma)$ в диске $U \subset \mathbb{R}P^2$ на двойку. В результате мы получим новую кривую $\tilde{\gamma}$ в диске $U$, регулярно гомотопную кривой $\gamma$ и имеющую индекс самопересечения либо 0, либо 1. В свою очередь, такая кривая $\tilde{\gamma}$ по первому следствию 1 из теоремы Рейдемейстера регулярно гомотопна в диске $U$ окружности с некоторым числом завитков. Но сумма знаков завитков равна 0 или 1 (по второму следствию 2 из теоремы Рейдемейстера), а любую пару соседних завитков с противоположными знаками можно взаимно уничтожить регулярной гомотопией в диске $U$, изображенной на рис. 2. Поэтому кривая $\tilde{\gamma}$ регулярно гомотопна в $U$ либо кривой $\gamma_{(0)}$, либо $\gamma_{(1)}$.

Осталось показать, что $\gamma_{(0)}$ не регулярно гомотопно с $\gamma_{(1)}$. Это следует из второго следствия 2 из теоремы Рейдемейстера (четность числа самопересечения кривой инвариантна при регулярной гомотопии).

Лемма 1 доказана. □

**Лемма 2.** *Если* $\gamma_1$ — *нестягиваемая, то для нее верно утверждение теоремы 4.*

*Доказательство.* Рассмотрим вторую ситуацию, когда $\gamma_1$ — нестягиваемая (т.е. меняющая ориентацию). В данном случае кривая $\gamma_1$ пересекает ленту Мёбиуса. Кривая $\gamma_1$ по следствию 1 из теоремы Рейдемейстера регулярно гомотопна некоторой кривой $\gamma$, пересечение которой с листом Мёбиуса является простой дугой, а пересечение с диском $U$ имеет вид простой дуги с некоторым числом маленьких петель (рис. 5).

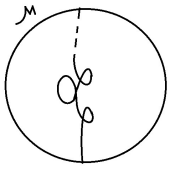

Рис. 5: Пересечение нестягиваемой кривой $\gamma$ с диском $U$

Любую пару соседних петель, имеющих один знак, взаимно уничтожим регулярной гомотопией, обратной к "протаскиванию через бесконечность" (утверждение 2). Петли же с разными знаками взаимноуничтожаются регулярной гомотопией, изображенной на рис. 2. То есть в данном случае получаем, что всякая нестягиваемая кривая $\gamma$ регулярно гомотопна либо $\gamma_{(0)}$, либо $\gamma_{(1)}$, что и завершает доказательство леммы. □

Теорема 4 доказана.

## 2.2 Граф $G$ состоит из двух петель

Рассмотрим случай, когда граф $G$ состоит из двух петель и имеет вид как на рис. 6, т.е. является букетом двух окружностей.

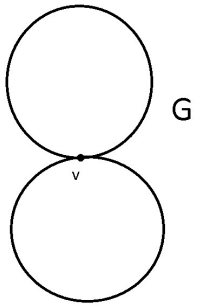


Рис. 6: Граф $G$, состоящий из двух петель

### 2.2.1 Вспомогательные утверждения и необходимые определения

Введем циклический порядок полурёбер в вершине $v' = \gamma(v)$ (там, где сходятся все петли графа $G' = \gamma(G)$) относительно ориентации $or$.

**Определение 5.** Обозначим $\gamma|_{e_1} = e_1'$ и $\gamma|_{e_2} = e_2'$ . Из вершины $v'$ графа $G'$ выходят полуребра $e_1', e_2'$ и в неё входят полуребра $(e_1')^{-1}, (e_2')^{-1}$. Выберем обход вершины $v'$, согласованный с фиксированной ориентацией (напомним, что рассматривается $\gamma^{or}$). Будем выписывать полуребра $e_i', (e_i')^{-1}$ в порядке их появления во время обхода. Соответствующий набор из $e_i, e_i^{-1}$ (т.е. соответствующее слово в алфавите $e_1, e_2, e_1^{-1}, e_2^{-1}$) с точностью до циклического сдвига назовём *циклическим порядком полурёбер в вершине* (относительно ориентации $or$).

**Утверждение 3.** *Пусть на $\mathbb{R}P^2$ точки $x$ и $x_0$ соединены двумя различными кривыми $\gamma$ и $\tilde{\gamma}$, и петля $e'$ содержит точку $x$. Тогда $[\gamma^{-1} \cdot e' \cdot \gamma] = [\tilde{\gamma}^{-1} \cdot e' \cdot \tilde{\gamma}] \in \pi_1(\mathbb{R}P^2, x_0) \simeq \mathbb{Z}/2\mathbb{Z} = \mathbb{Z}_2$ и $\pi_1(\mathbb{R}P^2, x_0) \simeq \pi_1(\mathbb{R}P^2, x)$ (см. рис. 7).*

*Доказательство.* $\gamma^{-1} \cdot e' \cdot \gamma \sim \underbrace{\gamma^{-1} \cdot \tilde{\gamma}}_{\delta} \cdot (\tilde{\gamma}^{-1} \cdot e' \cdot \tilde{\gamma}) \cdot \underbrace{\tilde{\gamma}^{-1} \cdot \gamma}_{\delta^{-1}} \sim \tilde{\gamma}^{-1} \cdot e' \cdot \tilde{\gamma}$, так как для $\forall y, \delta \in \pi_1(RP^2, x_0)$ в силу коммутативности $\pi_1(RP^2, x_0)$, верно, что $\delta y \delta^{-1} = y$. □

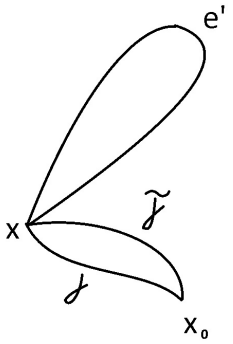


Рис. 7: Независимость фундаментальной группы $\mathbb{R}P^2$ от базисной точки

В силу утверждения 3 фундаментальная группа проективной плоскости не зависит от выбора базисной точки. Поэтому будем опускать базисную точку в обозначении фундаментальной группы.

### 2.2.2 Формулировка результата

**Теорема 5.** *Если* $\gamma_1, \gamma_2 : G \to \mathbb{R}P^2$ *— два регулярных погружения, то*

$$\boxed{\gamma_1^{or} \overset{reg}{\sim} \gamma_2^{or} \Leftrightarrow Inv(\gamma_1^{or}) = Inv(\gamma_1^{or})},$$

*где*

$$Inv_0(\gamma^{or}) = \Big([\gamma|_{e_1}], [\gamma|_{e_2}]\Big) \in \Big(\pi_1(\mathbb{R}P^2)\Big)^2 \simeq \mathbb{Z}_2 + \mathbb{Z}_2,$$

$$Inv_{1,i}(\gamma^{or}) = I(\gamma|_{e_i}) \ mod\ 2 \in \mathbb{Z}_2 = \{0, 1\},$$

$$Inv_1(\gamma^{or}) = \Big(Inv_{1,1}(\gamma^{or}), Inv_{1,2}(\gamma^{or})\Big) \in \mathbb{Z}_2 + \mathbb{Z}_2,$$

$$Inv_2(\gamma^{or}) = \Big(\textit{циклический порядок полуребер}\Big),$$

$$Inv(\gamma^{or}) = \Big(Inv_0(\gamma^{or}), Inv_1(\gamma^{or}), Inv_2(\gamma^{or})\Big).$$

### 2.2.3 Доказательство теоремы 5

Возникают три возможных ситуации. Первая — когда обе петли $e_1'$ и $e_2'$ стягиваемы. Вторая — когда одна из них стягиваема, а вторая — нет. И третья, когда обе петли $e_1'$ и $e_2'$ нестягиваемы.

**Лемма 3.** *Если* $\gamma_1^{or} \overset{reg}{\sim} \gamma_2^{or}$, *то* $Inv(\gamma_1^{or}) = Inv(\gamma_2^{or})$.

**Лемма 4.** *Если* $Inv(\gamma_1^{or}) = Inv(\gamma_2^{or})$, *то* $\gamma_1^{or} \overset{reg}{\sim} \gamma_2^{or}$.

*Доказательство леммы 3.* Если два погружения $\gamma_1^{or}$ и $\gamma_2^{or}$ регулярно гомотопны, то две петли $\gamma_1|_{e_i}$ и $\gamma_2|_{e_i}$ регулярно гомотопны $\Rightarrow$ гомотопны, а значит они либо обе стягиваемы, либо обе не стягиваемы.

Для замкнутой регулярной кривой индекс самопересечения $mod2$ при регулярной гомотопии меняться не будет, согласно второму следствию 2 из теоремы Рейдемейстера.

Если погружения $\gamma_1^{or}$ и $\gamma_2^{or}$ регулярно гомотопны, то они локально регулярно гомотопны в некоторой окрестности вершины $v$. Значит, циклический порядок относительно ориентации меняться не будет.

Таким образом доказано, что если $\gamma_1^{or}$ и $\gamma_2^{or}$ регулярно гомотопны, то значения введенного инварианта на них совпадают. □

*Доказательство леммы 4.* Теперь проведем доказательство в обратную сторону. То есть, если значения инварианта на погружениях $\gamma_1^{or}$ и $\gamma_2^{or}$ графа $G$ в $\mathbb{R}P^2$ совпадают, то эти погружения регулярно гомотопны.

Предположим для определенности, что верна первая из трех описанных выше ситуаций, т.е. погружение $\gamma_1$ стягиваемо (в остальных двух случаях рассуждения аналогичны).

Совместим точки $\gamma_1(v) = v_1'$ и $\gamma_2(v) = v_2'$ так, чтобы совпали локальные ориентации $or.$ в этих точках для $\gamma_1^{or}$ и $\gamma_2^{or}$. Из-за стягиваемости погружения $\gamma_1$ существует последовательность движений Рейдемейстера типов 2 и 3, деформирующих данное $\gamma_1^{or}$ к $\tilde{\gamma}_1^{or} \subset U \subset \mathbb{R}P^2$, в процессе которых сохраняется циклический порядок в вершине, где $U$ — некоторая окрестность вершины $v_1'$ графа $G_1'$. Аналогично существует последовательность движений и для $\gamma_2$ такая, что $\tilde{\gamma}_2 \subset U$. Кроме того, так как циклический порядок для погружений $\gamma_1$ и $\gamma_2$ один и тот же, то сами эти погружения можно совместить в малой окрестности $V \subset U$

точки $v' = v'_1 = v'_2$. С помощью регулярных гомотопий можно поменять число самопересечения каждой из $e'_1$ и $e'_2$ на 2 или $-2$ прибавлением или вычитанием двух петель с положительным знаком самопересечения, работая с каждой из $e'_1$ и $e'_2$ по отдельности как в случае, когда граф $G$ состоял из 1 петли ("протаскивание через бесконечность"). При этом циклический порядок нарушаться не будет, если окрестность $V$ не будет затрагиваться. Получаем, что погружение $\tilde{\gamma}_1$ совпадает в $V$ с $\tilde{\gamma}_2$, и имеет такой же индекс самопересечения на каждой из своих петель $e'_1$ и $e'_2$, как и на соответствующих петлях у $\tilde{\gamma}_2$. Отсюда следует, что погружения $\gamma_1^{or}$ и $\gamma_2^{or}$ регулярно гомотопны. □

Теорема 5 доказана.

# Список литературы


[1] H. Whitney, "On regular closed curves in the plane", *Compositio Math.*, 1937, № 4, 276–286.

[2] K. Reidemeister, "Elementare Begründung der Knotentheorie", *Abh. Math. Sem. Univ. Hamburg*, **5** (1926), 24–32.

[3] Д. А. Пермяков, "Регулярная гомотопность погружений графов в поверхности", *Матем. сб.*, **207**:6 (2016), 93–112; D. A. Permyakov, "Regular homotopy for immersions of graphs into surfaces", *Sb. Math.*, **207**:6 (2016), 854–872.



Maxim A. Ivashkovskii

frank1581@yandex.ru

Moscow State University, Mathematics and Mechanics Department